

II-7 道路トンネルにおける交通換気の実験と考察

日本道路公団

正員 北留間 豊

日本道路公団

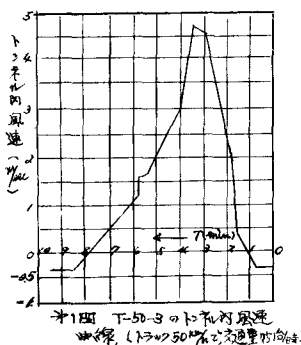
正員 中道 文基

建設省土木研究所

正員 伊吹山四郎

概論 我国において今までの道路トンネルは対面交通に使用されていて、本文で述べる自動車による交通気流と言うものは、期待できなかつた。しかし諸外国においては、トンネルが一方交通に供されているため、自然通风と同時に、交通に伴う換気流を利用し、機械換気施設の節減を計っている。現在計画中の名一神高速道路トンネルは、一方交通である、高速交通でもあるから、相当の交通換気が期待されるのではないかとえう予想の上に、建設省土木研究所の援助により、供用開始前の北九州道路にて、現地試験を行なった。本文は試験で得たデータを、簡単な考察でもして、他トンネルに対する適用ができるような数式を求め、実験値との差異等を検討したものである。

試験及び結果 乗用車及びトラック、各24台使用し、交通量と車隔と車速の組合せで変化させ、車種は混合せず、千鳥走行とし、交通換気の最大と最小を知ることとした。測定方法は、トンネル中央中心線上舗装面



試験番号	交通量 (台/時)	自動車風速 自風速増加	自風速
C-50-1	188	1.60	-0.50
C-50-2	376	1.75	0.60
C-50-3	726	2.57	-2.40
C-50-4	1630	2.94	-2.30
T-50-1	189	2.37	0.40
T-50-2	411	3.64	0.80
T-50-3	781	5.00	-0.40
T-50-4	1929	6.10	-0.20

- 1 表 - 交通量に対する交通換気係数
C-50-1 乗用車 50台/時
T-50-1 トヨタ50台/時

す。この表によれば、交通量に応じ、交通換気量は 1.00%~6.00% の範囲にある。

考察 今トンネルを一本の風管と考へ、自然風 U_0 が流れているとする。この状態に、ある交通流が通った場合、トンネル内空気はその影響を受け、增速または減速され、交通のある間、定常流 U が流れることし、更に、トンネル断面 $F_0 \text{ m}^2$ は自動車前面抵抗面積 $F_H \text{ m}^2$ に比べて遙かに大きいが、自動車の空気を押す力 $\Gamma D(\text{kg})$ はトンネル断面に均一に分割されるとすれば、相互の間に次式が成立つ。

$$\left| C_{w0} \cdot \frac{\rho}{2} \cdot (U^2 - U_0^2) + \frac{F_H}{F_0} \cdot \frac{U}{L} \pm \lambda \cdot \frac{\rho}{2} \cdot U_0^2 \cdot \frac{U}{4F_0} \cdot L \right| = \frac{\rho}{2} \cdot U^2 \cdot (1 + \lambda \cdot \frac{U}{4F_0} \cdot L) \quad \cdots (1)$$

ここで C_{w0} : トンネル内自動車抵抗係数

U : 自動車速度 (m/sec)

ρ : 空気密度 (kg/m^3)

F_H, F_0 : 自動車及びトンネル断面積 (m^2)

L : トンネル延長 (m)

L : 車頭間隔 (m)

λ : トンネル壁面摩擦係数(入口損失等を含む)。 U : トンネル周長 (m)

上式の λ は自然風の向きを示す。即ち \oplus は自然風が車進行方向と同一の場合。 \ominus は自然風が車進行方向と逆の場合である。式を整理するため、 $(C_{w0} \cdot F_H / F_0 \cdot L / U) / (1 + \lambda \cdot U / 4F_0 \cdot L) = K$

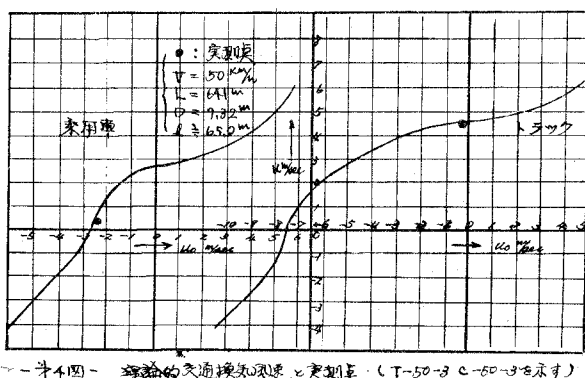
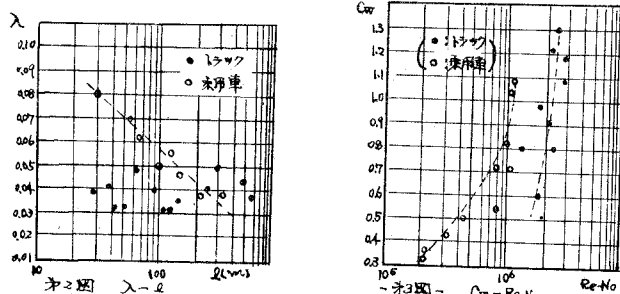
$(\lambda \cdot \frac{U}{L} F_0 \cdot \angle) / (1 + \lambda \cdot \frac{U}{L} F_0 \cdot \angle) \neq 1$ とおくと、(1)式は次のようになる。

$$|K(v - u)^2 + u_0^2| = u^2 \quad (2)$$

此式は以下の場合により夫々異なり函数となり、また夫々の条件を満たすば連続である。

- (i) $K(v - u)^2 + u_0^2 > 0, u_0 > 0 ; \frac{u}{v} = \frac{-K}{1-K} + \frac{1}{1-K} \sqrt{K + (\frac{u_0}{v})^2 (1-K)}$ — (3) 双曲線
- (ii) $K(v - u)^2 - u_0^2 \geq 0, u_0 < 0 ; \frac{u}{v} = \frac{-K}{1-K} + \frac{1}{1-K} \sqrt{K - (\frac{u_0}{v})^2 (1-K)}$ — (4) ハーフ
- (iii) $K(v - u)^2 - u_0^2 \leq 0, u_0 < 0 ; \frac{u}{v} = \frac{K}{1+K} - \frac{1}{1+K} \sqrt{-K + (\frac{u_0}{v})^2 (1+K)}$ — (5) 双曲線

計算値及び実験値の比較 (1)(2)(3)式より求めた計算値と実験値とを比較する。トネル壁面抵抗係数入はオイコロフ¹とき風速曲線の減衰部²から求め、更に自動車間隔のつまり具合の影響が乗用車とトラックでは車体構造の差異から異なることとしてオイコロフ¹に示す入 λ



ようと思う。

[註] 1) 土木学会誌第29巻第3号 村山朔郎「隧道内の気流に関する理論的考察」によれば、自動車交通流によるトネル内気流の方程式は、本文と同じ表示を用ひると

$$(1 + \lambda \cdot \frac{U}{d}) \frac{U^2}{2g} + \frac{L}{g} \frac{du}{dt} = (1 + \lambda \cdot \frac{U}{d}) \frac{U_0^2}{2g}$$

上式の $\frac{du}{dt}$ をオイコロフ¹のような曲線の減衰部の勾配から知り、入を得た。

曲線を求めた。 C_d については、普通 $C_d \approx 0.9$ 程度であるが、Re数に対し、オイコロフ¹に示す関係があり、計算においては、車両、車速等から適正なRe数を知り、 C_d をオイコロフ¹より得ることとする。今一例として車速50km/hの場合で、車頭間隔 $l = 65m$ の場合のトラック及び乗用車の曲線を掲げ、実験値とほぼよく合致することを示しておくる。(オイコロフ¹)

検討 実験値との差は余り大きくなく、この程度の範囲の差であれば上式を用いて他トネルの交通換気の傾向を知るに十分であると思われる。この誤差の原因としては、実験時と計算の際に用いた、車頭間隔や走行の影響、自然風の一時的要素等が考へられる。尚 C_d 、入等の係数については今後実験で明らかにし